

Metaballs

- Abgeschaut von den Molekülen
- Idee: betrachte Kugel als Menge aller Punkte im Raum, die dasselbe "Potential" haben, wobei das Maximum des Potentialfeldes im Kugelmittelpunkt herrscht → **Isofläche**
- Potentialfeld wird beschrieben durch Potentialfunktion, z.B.

$$\rho(r) = \frac{1}{r^2}$$
 wobei

$$r = r_1(\mathbf{x}) = \|\mathbf{x} - \mathbf{x}_1\|$$
- Die Kugelfläche ist damit

$$K = \{\mathbf{x} \mid \rho(\mathbf{x}) = t\}$$
 - t heißt **Schwellwert** oder **Isowert**.

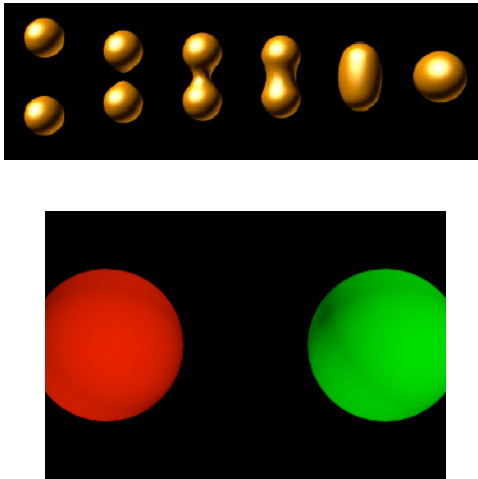
G. Zachmann Computer-Graphik 2 - SS 07 Ray-Tracing 65

- Implizite Funktion setzt sich zusammen aus
Distanzfunktion + Potentialfunktion
- Entsprechend gibt es viele Varianten und Namen: "metaballs", "soft objects", "blobs", "blobby modeling", "implicit modeling" ...
- Komplexere Objekte entstehen durch **Überlagerung (Blending)** der Potentialfelder mehrerer Punkte
 - Einfachstes Blending ist Addition der Felder:

$$P(\mathbf{x}) = \sum_{i=1}^n a_i \frac{1}{r_i^2(\mathbf{x})}$$
 - Alle Punkte zusammen heißen **Skelett (skeleton)**,
 P ist das Gesamtpotential, a_i = "Feldstärke" bestimmen jew. Einfluß
 - Negative Feldstärken nehmen "Material" weg (z.B. für Löcher)

G. Zachmann Computer-Graphik 2 - SS 07 Ray-Tracing 66

▪ Beispiel für 2 Skelett-Punkte:

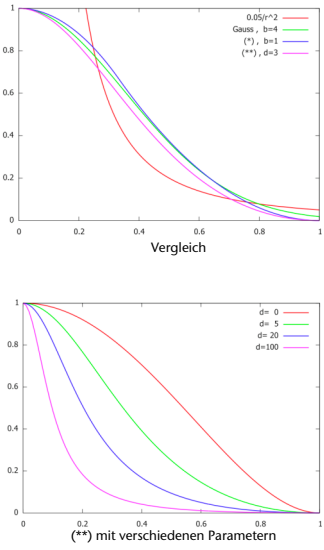


G. Zachmann Computer-Graphik 2 - SS 07 Ray-Tracing 67

▪ Andere Potentialfunktionen:

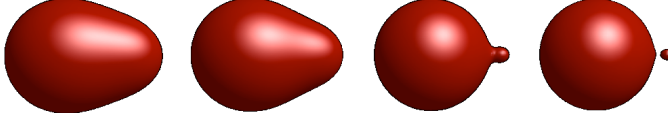
$$p_i(r) = e^{-br^2}$$

$$p(r) = \begin{cases} 1 - 3\frac{r^2}{b^2} & , r \leq \frac{1}{3}b \quad (*) \\ \frac{3}{2}\left(1 - \frac{r}{b}\right)^2 & , \frac{1}{3}b \leq r \leq b \\ 0 & , r > b \end{cases}$$

$$p(r) = \begin{cases} \frac{r^4 - 2r^2 + 1}{1 + dr^2} & , r \leq 1 \quad (**) \\ 0 & , r > 1 \end{cases}$$


G. Zachmann Computer-Graphik 2 - SS 07 Ray-Tracing 68

▪ Effekt der Variation des Parameters:



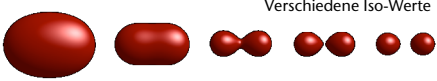
Potentialfkt (**), d für den linken Skelettpunkt fest, $d = 10 \dots 2000$ für den rechten Punkt

G. Zachmann Computer-Graphik 2 - SS 07 Ray-Tracing 69

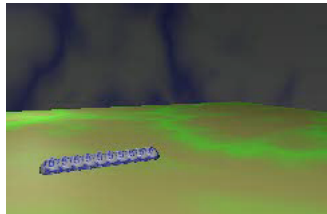
Deformationen

▪ Mit diesem Modell lassen sich Deformationen von "blob-artigen" Objekten sehr einfach modellieren:

- Verschiebe Skelett-Punkte
- Modifiziere Parameter a, b, \dots
- Modifiziere den Iso-Wert t



Verschiedene Iso-Werte

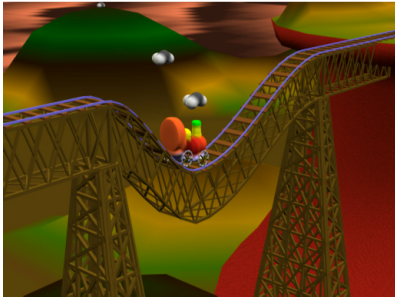


Brian Wyvill
<http://pages.cpsc.ucalgary.ca/~blob/animations.html>

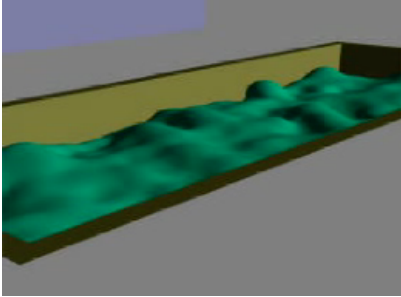


Frédéric Triquet
<http://www2.lifi.fr/~triquet/implicit/video/>

G. Zachmann Computer-Graphik 2 - SS 07 Ray-Tracing 70

"The Great Train Rubbery" — Siggraph 1986



"Soft"

"The Wyvill Brothers"



Geoff



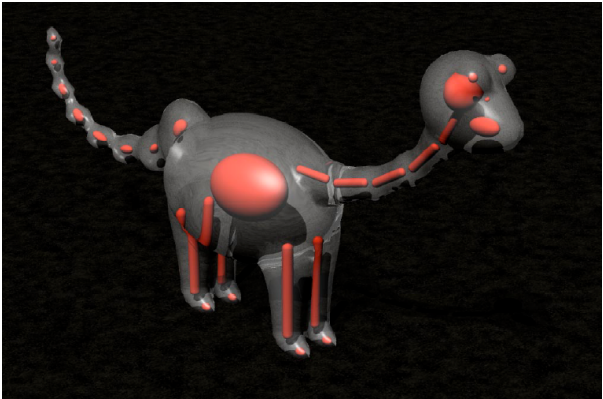
Brian

G. Zachmann Computer-Graphik 2 - SS 07 Ray-Tracing 71



Verallgemeinerungen / Varianten

- Punkte sind das einfachste Primitiv zur Konstruktion eines Skeletts; analog kann man Linien, Polygone, Ellipsoide, etc., verwenden:



Beispiele weiterer Skelett-Primitive:

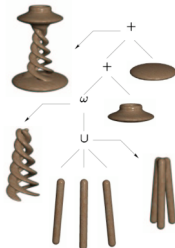




G. Zachmann Computer-Graphik 2 - SS 07 Ray-Tracing 72

- Andere Blending-Funktionen:

$$P_{\cup}(\mathbf{x}) = \max\{p_1(\mathbf{x}), p_2(\mathbf{x})\}$$

$$P_{\cap}(\mathbf{x}) = \min\{p_1(\mathbf{x}), p_2(\mathbf{x})\}$$
- Ein Baum von Blending-Operationen – der BlobTree:
 

G. Zachmann Computer-Graphik 2 - SS 07 Ray-Tracing 73

Bemerkungen zum "*implicit modeling*"

- Man kann nette Effekte recht einfach erzielen
- Als professionelles Tool in der Animationsindustrie oder im CAD hat es sich nicht durchgesetzt, weil einfach zu viel "Magie" im Spiel ist [sagt auch Geoff Wyvill]
- Brian Wyvill arbeitet immer noch an diesen Methoden [2004]

G. Zachmann Computer-Graphik 2 - SS 07 Ray-Tracing 74

Normale an impliziten Flächen

- Normale in Punkt \mathbf{x} auf impliziter Fläche $f(\mathbf{x})$

$$\mathbf{n}(\mathbf{x}) = \nabla f(\mathbf{x}) = \begin{pmatrix} \frac{\partial f}{\partial x}(\mathbf{x}) \\ \frac{\partial f}{\partial y}(\mathbf{x}) \\ \frac{\partial f}{\partial z}(\mathbf{x}) \end{pmatrix}$$

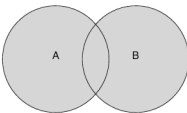
$$\approx \begin{pmatrix} f(x + \varepsilon, y, z) - f(\mathbf{x}) \\ f(x, y + \varepsilon, z) - f(\mathbf{x}) \\ f(x, y, z + \varepsilon) - f(\mathbf{x}) \end{pmatrix}$$

$$\approx \begin{pmatrix} f(x + \varepsilon, y, z) - f(x - \varepsilon, y, z) \\ f(x, y + \varepsilon, z) - f(x, y - \varepsilon, z) \\ f(x, y, z + \varepsilon) - f(x, y, z - \varepsilon) \end{pmatrix}$$

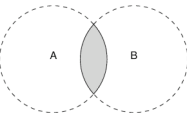
G. Zachmann Computer-Graphik 2 - SS 07 Ray-Tracing 75

Weitere Objekt-Repräsentation: CSG

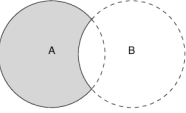
- Fügt sich genauso zwanglos ins Raytracing ein
- Zentrale Idee: konstruiere neue Objekte durch Mengen-Operationen auf einfachen Grund-Volumina
(→ CSG = *constructive solid geometry*)
 - Mengen-Operationen: Schnittmenge, Vereinigung, Differenz
 - Grund-Primitive: alle Objekte, die sich leicht implizit beschreiben lassen
 - Rekursive Anwendung der Operationen → "Objekt-Arithmetik"



Vereinigung



Schnittmenge



Differenz





G. Zachmann Computer-Graphik 2 - SS 07 Ray-Tracing 76

Implementierung

- Verwende implizite Form der Grund-Objekte

- Bestimme **alle** Schnittpunkte eines Strahls mit allen Grundobj.
 - Falls alle Grundobj. konvex \rightarrow 1 Intervall auf dem Strahl pro Grundobj.

G. Zachmann Computer-Graphik 2 - SS 07 Ray-Tracing 77

- Führe die Operation auf den Intervallen durch
- Rekursiv den CSG-Baum nach oben
- Falls an der Wurzel ein leeres Intervall entsteht \rightarrow kein Schnitt
- Sonst: wähle Minimum aller Intervalle, die bis zur Wurzel übrigbleiben / entstanden sind
- Achtung:
 - Bei einer Operation können mehrere disjunkte Intervalle entstehen!

Bei Vereinigung entsteht hier ein Paar disjunkter Intervalle auf dem Strahl!

Dito hier bei der Differenz $B - A$!

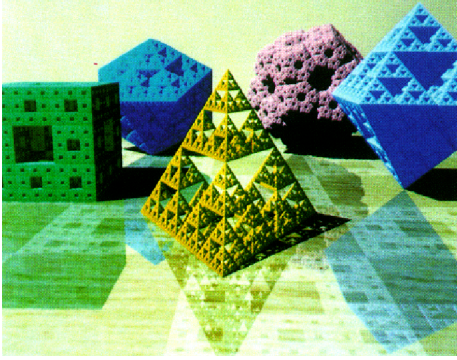
- Achte auf numerische Stabilität (z.B.: lösche zu kleine Intervalle)

G. Zachmann Computer-Graphik 2 - SS 07 Ray-Tracing 78

Fraktale

- Auch Fraktale kann man trivial ray-tracen
- Einfach Rekursion "on demand" bis zur gewünschten Tiefe

→ Prozedural beschriebene Objekte

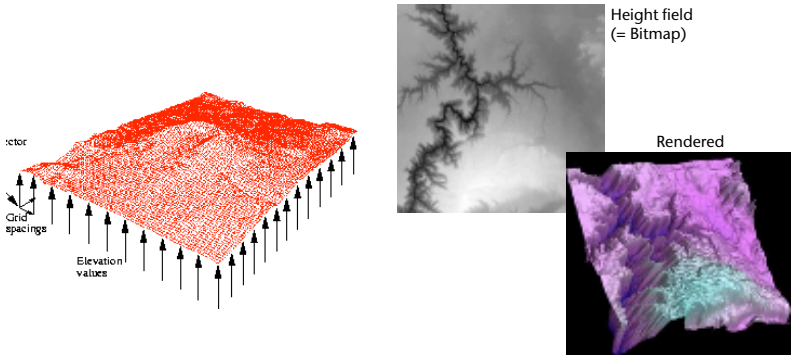


G. Zachmann Computer-Graphik 2 - SS 07 Ray-Tracing 79

Height Fields

[Henning & Stephenson, 2004]

- Height Field = Alle Arten von Flächen, die sich als Funktion $z = f(x, y)$ schreiben lassen
- Z.B.: Terrain, Meßwerte über einer Ebene, 2D-Skalarfeld, ...



G. Zachmann Computer-Graphik 2 - SS 07 Ray-Tracing 80

Beispiele für Terrain

Turtmann Valley Dataset

- **3 datasets** of **4k x 4k** height-samples each
@ 2m planar, 0.25m vertical inter-pixel spacing
- Normal-maps derived from input height-map
(**3x4096x4096**), mixed **JPEG** and **S3TC**
compression
- Compressed dataset size: **33 MB**
- Flight speed is around 540 km/h ~ **Mach 0,5**

Bonn University

G. Zachmann Computer-Graphik 2 - SS 07 Ray-Tracing 81

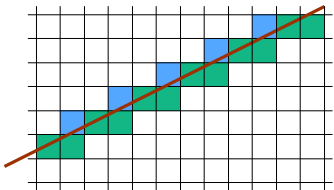


Valles Marineris, Mars - <http://mars.jpl.nasa.gov>

G. Zachmann Computer-Graphik 2 - SS 07 Ray-Tracing 82

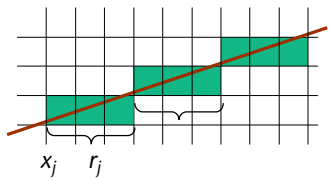
- Vereinfachungen zunächst:
 - Betrachte (unendliche) Linien mit $y = mx$, $0 \leq m \leq 1$
 - Betrachte nur die Folge der grünen Zellen = Zellen, die an ihrer linken Kante von der Linie geschnitten werden

- Terminologie:
 - Zelle wird identifiziert durch deren linken unteren Eckpunkt (x_j, y_j)
 - Span := Folge von Zellen mit gleicher y-Koord.
 - Länge des j-ten Spans = r_j



G. Zachmann Computer-Graphik 2 - SS 07 Ray-Tracing 85

- Beobachtung: die diskrete Linie ist vollständig durch die Folge der Span-Längen definiert, denn

$$(x_{j+1}, y_{j+1}) = (x_j + r_j, y_j + 1)$$


- Satz (o. Bew.):
Alle Spans der diskretisierten Linie haben nur eine von genau zwei verschiedenen Längen, nämlich

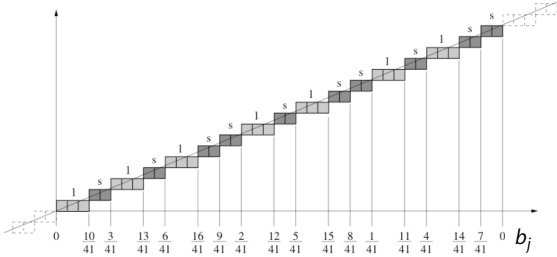
$$\forall j: r_j = r \vee r_j = r + 1$$

- Klar ist:

$$\frac{1}{2} \leq m \leq 1 \Rightarrow r = 1$$

G. Zachmann Computer-Graphik 2 - SS 07 Ray-Tracing 86

▪ Beispiel:



▪ Beobachtung: wenn wir ein seehr langes Segment der Linie betrachten, dann gilt

$$\frac{\# \text{ Spans}}{\# \text{ Zellen}} = \frac{\Delta y}{\Delta x} \approx m$$

G. Zachmann Computer-Graphik 2 - SS 07 Ray-Tracing 87

▪ Folge: aus der Steigung kann man die Span-Länge r (bzw. $r+1$) berechnen:

$$\frac{1}{m} = \text{mittlere Span-Länge}$$

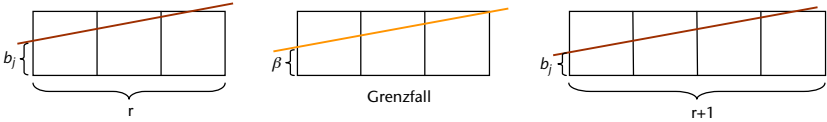
$$= \text{Mittelwert von } r \text{ und } r+1 \Rightarrow$$

$$r = \left\lfloor \frac{1}{m} \right\rfloor, r+1 = \left\lceil \frac{1}{m} \right\rceil$$

▪ Im Folgenden: Berechnung von r_j , m.a.W., Methode zur Entscheidung, ob man einen "langen Span" oder einen "kurzen Span" hat

G. Zachmann Computer-Graphik 2 - SS 07 Ray-Tracing 88

■ Wovon hängt es ab, ob man einen langen/kurzen Span hat?



■ Also: falls $b_j \geq \beta$, dann kurzer Span, sonst langer Span.

■ Bestimmung von β :

$$b_j = mx_j - y_j$$

$$b_{j+1} - b_j = mr_j - 1$$

Im Grenzfall ist $b_{j+1}=0$ und $b_j = \beta$, also

$$\beta = 1 - mr = 1 - m \left\lfloor \frac{1}{m} \right\rfloor$$

G. Zachmann Computer-Graphik 2 - SS 07 Ray-Tracing 89

■ Das nächste b_{j+1} ist also:

falls kurzer Span $\rightarrow b_{j+1} = b_j - \beta$
 falls langer Span $\rightarrow b_{j+1} = b_j + m - \beta$

■ Damit hat man einen iterativen, sehr effizienten Algo zur Aufzählung aller Zellen, die von einer Linie getroffen werden.

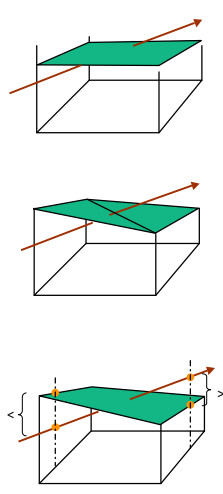
■ Weiteres (lästiges) Detail:

- Bei einem Strahl ist der erste Span i.A. gekürzt
- Soll hier nicht weiter vertieft werden

G. Zachmann Computer-Graphik 2 - SS 07 Ray-Tracing 90

Schnitttest Strahl — Flächenstück in der Zelle

- Naïve Methoden:
 - "Nearest-Neighbor":
 - Bestimme mittlere Höhe aus den 4 Höhenwerten an den Ecken
 - Schneide Strahl gegen horizontales Quadrat mit dieser mittleren Höhe
 - Sehr ungenau
 - "2 Dreiecke":
 - Konstruiere 2 Dreiecke aus den 4 Punkten über den Ecken
 - Knick innerhalb der Zelle, Aufteilung in Dreiecke nicht klar
- Besser: "bilineare Interpolation"
 - Betrachte Fläche als parabolisches Hyperboloid
 - Bestimme Höhe am Rand über/unter dem Strahl durch lineare Interpolation
 - Vergleiche Vorzeichen
 - Bestimmt ggf. Schnittpunkt & Normale



G. Zachmann Computer-Graphik 2 - SS 07 Ray-Tracing 91

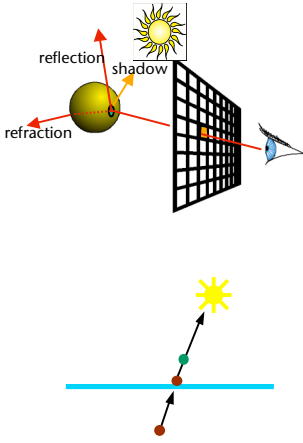
Speedup gegenüber einfachem DDA

- $O(n)$ bei DDA (z.B. Midpoint),
 $O(n/r)$ mit der Span-basierten Methode hier,
 n = Anzahl Zellen auf dem Strahl, r = mittlere Span-Länge
- In Zahlen:
 - Ca. Faktor 2 schneller über alle Orientierungen des Strahls

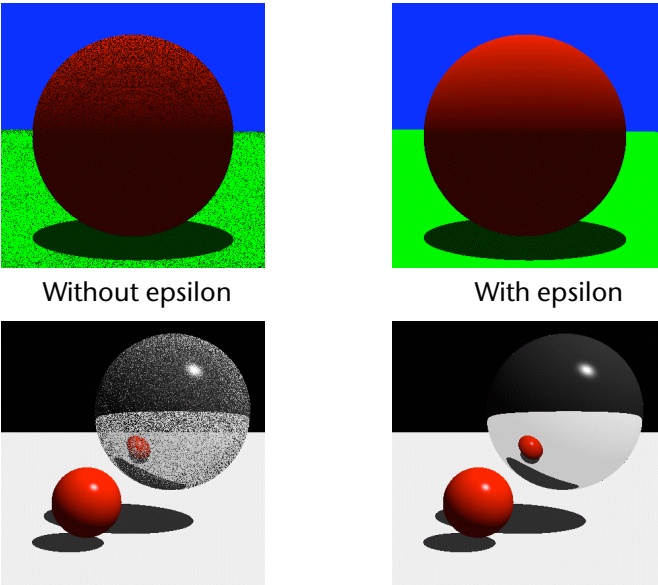
G. Zachmann Computer-Graphik 2 - SS 07 Ray-Tracing 92

The evil ϵ

- Was passiert, wenn der Ursprung des Strahles auf der Oberfläche eines Objektes sitzt?
- Floating-Point ist immer unexakt!
 - Folge: bei den folgenden Strahltests erscheint dieser Ursprung innerhalb des Objektes!
 - Folge: als nächsten Schnittpunkt erhalten wir denselben Punkt wieder!
- "Lösung":
verschiebe Aufpunkt des Strahls immer zuerst um ein ϵ in Richtung des Strahls



G. Zachmann Computer-Graphik 2 - SS 07 Ray-Tracing 93

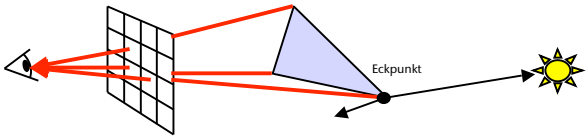


Without epsilon With epsilon

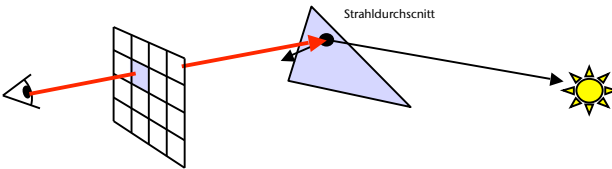
G. Zachmann Computer-Graphik 2 - SS 07 Ray-Tracing 94

Scankonvertierung vs. Raytracing

- Scan-Konvertierung: Auswerten eines Strahls, der durch jeden Eckpunkt eines Objektes gesendet wird

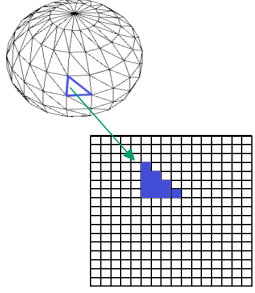


- Raytracing: Auswerten eines Strahls, der durch einen Bildschirmpixel gesendet wird



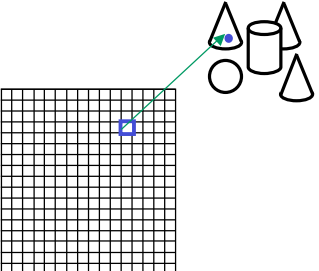
G. Zachmann Computer-Graphik 2 - SS 07 Ray-Tracing 95

- Zum Umwandeln einer Szene mittels Scan-Konvertierung ...



... scan-konvertiere jedes Dreieck

- Zum Umwandeln einer Szene mittels Raytracing ...



... verfolge für jedes Pixel einen Strahl

G. Zachmann Computer-Graphik 2 - SS 07 Ray-Tracing 96



Vor- und Nachteile

- Scan-Konvertierung:
 - schnell (da nur Eckpunkte)
 - wird unterstützt von aktuellen Grafikkarten
 - geeignet für Echtzeitanwendungen
 - ad-hoc Lösung für Schatten, Transparenz
 - Keine Interreflexion
- Raytracing:
 - noch rel. langsam (Suche nach Schnittpunkten zwischen Strahlen und Objektprimitiven)
 - bisher von keiner kommerziellen Hardware unterstützt
 - Offline-Rendering-Verfahren
 - Allgemeine Lösung für Schatten, Transparenz und Interreflektion, Clipping und Culling

G. Zachmann Computer-Graphik 2 - SS 07 Ray-Tracing 97



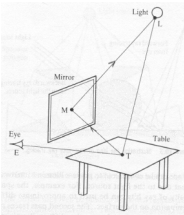
Bewertung des (einfachen) Raytracings

- Vorteile:
 - Eignet sich besonders für Szenen mit hohem spiegelndem und transparentem Flächenanteil
 - Kann beliebige Objektrepräsentationen verarbeiten (z.B. CSG, Rauch, ...)
 - Einzige Anforderung: man muß Schnitt zwischen Strahl und Objekt und die Normale in diesem Schnittpunkt berechnen können
 - Berechnung von Schatten, Reflexionen und Transparenzen sind ein inhärenter Teil des Raytracing-Algorithmus
 - Keine explizite perspektivische Transformation oder Clipping nötig

G. Zachmann Computer-Graphik 2 - SS 07 Ray-Tracing 98

Nachteile

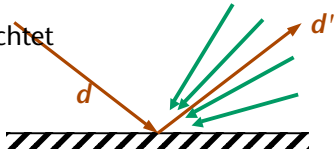
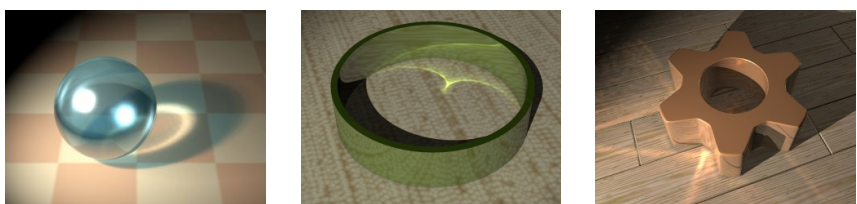
- Sehr viele Strahlen
 - Naives Ray-Casting: $O(p \cdot n \cdot l)$, $p = \# \text{ Pixel}$, $n = \# \text{ Polygone}$, $l = \# \text{ Lichtquellen}$
 - Anzahl Strahlen wächst exponentiell mit Rekursionstiefe!
- Keine indirekte Beleuchtung (Spiegel, "color bleeding" = diffuse indir. Bel.)
- Keine weichen Halbschatten
- Shading muß bei jeder Änderung der Kamera neu berechnet werden, obwohl diese nur von den Lichtquellen und den Objekten abhängen
- Für alle diese Nachteile wurden natürliche verschiedene Abhilfen vorgeschlagen



G. Zachmann Computer-Graphik 2 - SS 07 Ray-Tracing 99

Beispiel für das Problem der indirekten Beleuchtung: Kaustiken

- Konzentration von Licht
- Lichtstrahlen treffen sich in einem Punkt
- Raytracing wird ineffektiv
- Nur 1 reflektierter Strahl wird betrachtet

G. Zachmann Computer-Graphik 2 - SS 07 Ray-Tracing 100

Software-Architektur eines einfachen Raytracers

- Szene: einfache Liste von Kugeln, Dreiecken, etc.
- Schnittpunkt Strahl—Objekt
- Diffuse und spekulare Reflexion (Phong-Modell)
- Sekundärstrahlen
- Mögliche Erweiterungen
 - Lichtbrechung, Transparenzen
 - Besseres Oberflächenmodell (Fresnel)
 - Andere Objekte (Kegel, Zylinder, Polygon, ...)
 - Szene einladen

```

graph TD
    Object((Object))
    Sphere((Sphere))
    Triangle((Triangle))
    Raytracer((Raytracer))
    Ray((Ray))
    Material((Material))
    Lightsource((Lightsource))
    Hit((Hit))
    Camera((Camera))
    Scene((Scene))

    Sphere --> Object
    Triangle --> Object
  
```

G. Zachmann Computer-Graphik 2 - SS 07 Ray-Tracing 101

Typische Raytracer-Klassen

- Lightsource (hier nur Einfache Punktlichtquelle)


```

Vector m_location; // Position
Vector m_color; // Farbe
      
```
- Material


```

Vector m_color; // Farbe der Oberfläche
float m_diffuse; // Diffuser / Spekularer
float m_specular; // Reflexionskoeff. [0..1]
float m_phong; // Phong-Exponent
      
```
- Ray


```

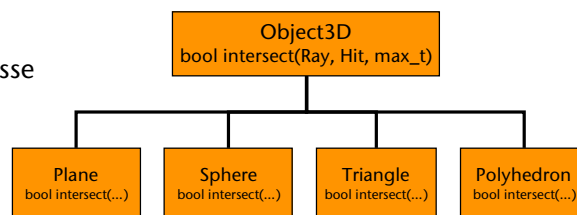
Vector m_origin; // Aufpunkt des Strahls
Vector m_direction; // Strahlrichtung
      
```

G. Zachmann Computer-Graphik 2 - SS 07 Ray-Tracing 102

- Hit: Speichert Informationen über den Schnittpunkt

```
Ray m_ray;           // Strahl
float m_t;           // Geradenparameter t
Object* m_object;   // Geschnittenes Objekt
Vector m_location;  // Schnittpunkt
Vector m_normal;    // Normale am Schnittpunkt
```

- Object:
Abstrakte Basisklasse
für alle
Geometrie-
objekte



```
// Schnittpunkt von Strahl mit Objekt
virtual bool closestIntersection( Intersection * hit ) = 0;
virtual bool anyIntersection( const Ray & ray, float max_t,
                             Intersection * hit ) = 0;

// Normale am Schnittpunkt
virtual void calcNormal( Intersection * hit ) = 0;

// Material des Objekts
int getMaterialIndex() const;
```

- Camera:
 - Alle Eigenschaften der Kamera, z.B. from, at, up, angle
 - Generiert Primärstrahlen durch alle Pixel
- Scene:
 - Speichert alle Daten der Szene
 - Liste aller Objekte
 - Liste aller Materialien
 - Liste aller Lichtquellen
 - Kamera

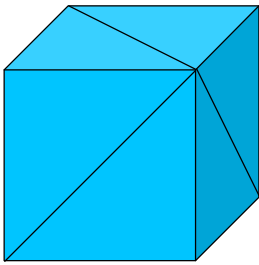
G. Zachmann Computer-Graphik 2 - SS 07 Ray-Tracing 105

Das OBJ-File-Format

```

vertices {
v -1 -1 -1
v 1 -1 -1
v -1 1 -1
v 1 1 -1
v -1 -1 1
v 1 -1 1
v -1 1 1
v 1 1 1
}
triangles {
f 1 3 4
f 1 4 2
f 5 6 8
f 5 8 7
f 1 2 6
f 1 6 5
f 3 7 8
f 3 8 4
f 1 5 7
f 1 7 3
f 2 4 8
f 2 8 6
}

```



G. Zachmann Computer-Graphik 2 - SS 07 Ray-Tracing 106